

MQCh

b4/
IV/paroxy
①

Molekule: vodíkohydrid
JA! polární molekula

→ možná je možné odvodit z experimentu (Hartig)

5. Využití metoda a CI-dokončení

→ Matice reprezentující CI (konfigurace)

$$\langle \Phi_i | \hat{H} | \Phi_j \rangle$$

pro ZS i exc. stav
ale' determinant

Slabý (molekula) jich málo, VF
(H_{ij}) tabulkou
nečistot.

co mají společného?
zajímá nás reakce s jinou molekulou,
jistě jí je mnohem méně!

Kde naší reprezentaci jsou uvedené všechny a kde výsledky?

$$\langle \Phi_i | \hat{H} | \Phi_j \rangle$$

přesná část VF
(*) \otimes množina
přesná část

účel determinací

neobsahují spin
repr. reakce
spin část, pouze
za přesnou část
 $\Rightarrow \hat{H} = \text{konst.}$

číslo Φ_{ij}
 $S_1^2 S_2^2$

$$\langle \Phi_i | \hat{H} | \Phi_j \rangle = \langle \Phi_{ij, \text{pace}} | \Phi_{ij, \text{spin}} | \hat{H} | \Phi_{ij, \text{pace}} \rangle \cdot \langle \Phi_{ij, \text{pace}} | \Phi_{ij, \text{spin}} \rangle$$

$$= \langle \Phi_{ij, \text{pace}} | \hat{H} | \Phi_{ij, \text{pace}} \rangle \cdot \langle \Phi_{ij, \text{spin}} | \Phi_{ij, \text{spin}} \rangle$$

základ: příslušný spin faktor

to by bylo reakce funkce operátora

$$2 \cdot 1 + 1 = 3$$

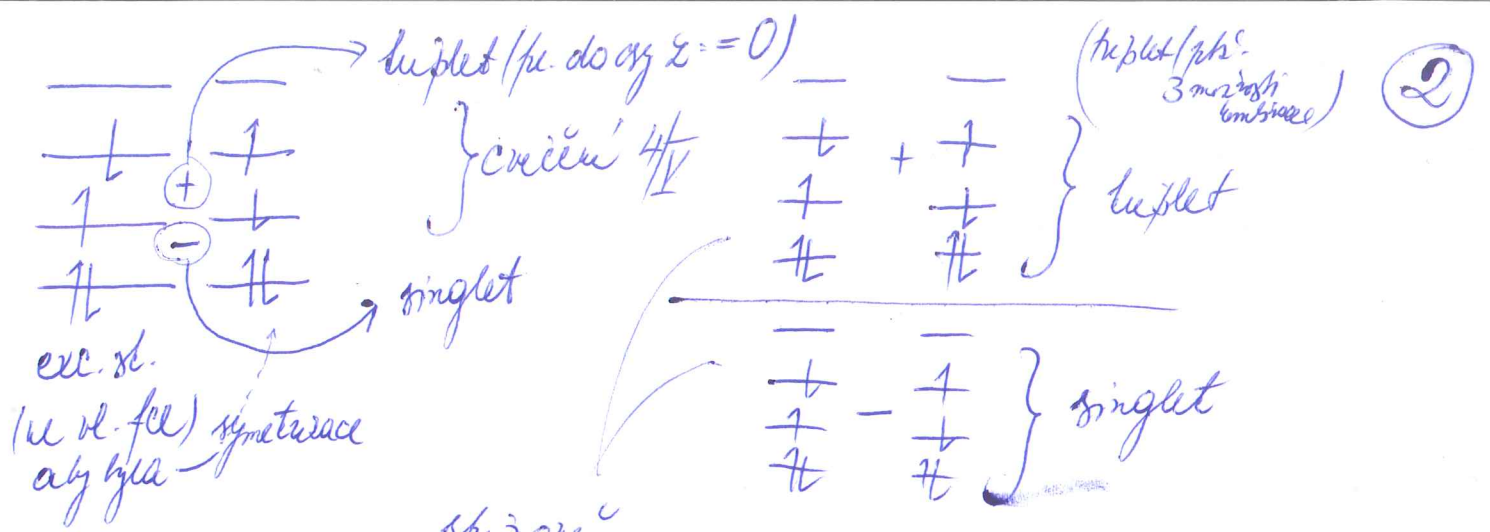
$$\frac{1}{2} + \frac{1}{2} = 1$$

$$\frac{+1/2}{1+1/2} \quad \frac{-1/2}{1-1/2}$$

\Rightarrow Triplett (ultrospin)

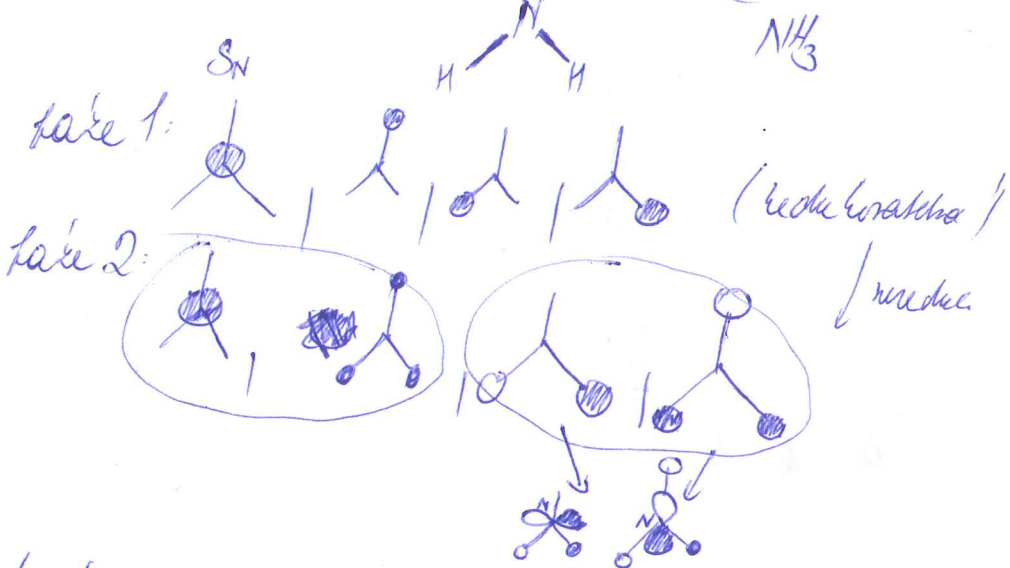
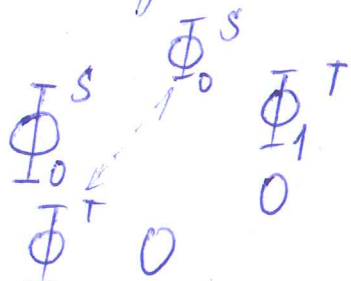
první do osy $z = +1$
 $\frac{1}{2} - \frac{1}{2} = 0$

$\frac{1}{2}$
 $\frac{1}{2}$
ZS - singlet $2S+1 = 2 \cdot 0 + 1 = 1$. singlet
spínový multiplet



spiroe
perzové
Loranthace (analogue symmetrically prep. contract)
(SAC)

a) singlet citrangi rour
x singlet



b) additivnost pologorých

císel: $Bu\text{lloniu}\text{s} \text{dovm} \text{pravely}$

$\langle \Phi_0 | \hat{H} | \Phi_{\text{singl}} \rangle$ všecky delší mohou být
 (HF) excited všecky malé, k. s. se
 stat. dle lze 'oře' excitovaný stav odz. s.
 symmetrie ($=0$)

$$0 = \left\langle \begin{array}{c} - \\ \frac{1}{2} \end{array} \middle| \hat{H} \middle| \begin{array}{c} - \\ \frac{1}{2} \end{array} \right\rangle - \left\langle \begin{array}{c} + \\ \frac{1}{2} \end{array} \middle| \hat{H} \middle| \begin{array}{c} + \\ \frac{1}{2} \end{array} \right\rangle$$

symmetric

$\langle \Phi_0 | \hat{H} | \Phi_{\text{doubly}} \rangle =$ význam. přesně
 u. v. korelace singl (E_{corr})

~~počítat~~
 $E_{\text{corr}} = E_{\text{exact}} - E_{\text{HF}}$
 (je záporná, aby bylo jasné, že
 stabilizuje)

? Objekt se náleží podrodečné表面 a CI máte?

HCOH

(3)

24/IV/

Φ_0	Φ_{single}	Φ_{double}	Φ_{triple}
$\Phi_0 E_{\text{HF}}$	0	!	
Φ_{singl}	0	!	
Φ_{doub}	!		
Φ_{tripl}	!		

(M^6)
n...lažu

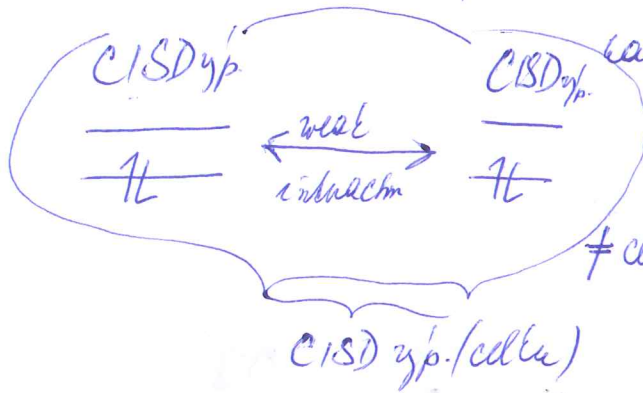
Opisovaná už je CI metodou:
(Zvláštní CI metody / hromad)

CID - ob. drobné elektrony

CISD - ob. drobné - jednoduché elektrony

CISDT (M^8)

CISDTO (M^{10})



CBSD - je tím všechno

$E \geq E_{\text{HF}}$
met.

charakter je vyplňování vole barev

metoda může být využívána:

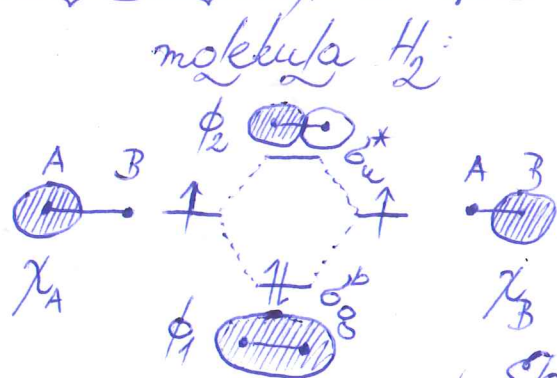
+ alkyne (expozice, sl. akutace jato podjezdového režimu systému)

čisté! metody CC (coupled clusters)
jsou sice konzistent.

(CCSD - spolu)

VI) Ilustrace, jak CI zavádí elektronovou korelace &
RHF disociaciální problem

molekula H_2 :



Slater's determin. ZS:

$$\Phi_0 : \overline{\overline{\Phi}}_0 = \overline{\overline{\Phi}}_1 + \overline{\overline{\Phi}}_2$$

grün \downarrow $\overline{\overline{\Phi}}_1(1)$ $\overline{\overline{\Phi}}_1(2)$
 $\overline{\overline{\Phi}}_2(1)$ $\overline{\overline{\Phi}}_2(2)$ \downarrow β grün

$$\Phi_0 = \begin{vmatrix} \Phi_1(1) & \Phi_1(2) \\ \Phi_2(1) & \Phi_2(2) \end{vmatrix}$$

sight

(4)

→ po excitaci (drojre):

$$\Phi_1: \pm$$

$$\Phi_1 = \begin{vmatrix} \phi_1(1) & \bar{\phi}_1(1) \\ \phi_1(2) & \bar{\phi}_1(2) \end{vmatrix} \text{ singlet } (\Phi_2 - \Phi_3)$$

$$\Phi_2: \pm$$

$$\Phi_2 = \begin{vmatrix} \phi_1(1) & \bar{\phi}_2(1) \\ \phi_1(2) & \bar{\phi}_2(2) \end{vmatrix} \text{ Leplet: } \Phi_2 + \Phi_3$$

$$\Phi_3: +\phi_2$$

$$\Phi_3 = \begin{vmatrix} \bar{\phi}_1(1) & \phi_2(1) \\ \bar{\phi}_1(2) & \phi_2(2) \end{vmatrix} \text{ Singlet}$$

$$\Phi_4: \pm$$

$$\Phi_4 = \begin{vmatrix} \phi_1(1) & \phi_2(1) \\ \phi_1(2) & \phi_2(2) \end{vmatrix} \text{ Leplet } \langle \hat{S}_z \rangle = +1$$

$$\Phi_5: +$$

$$\Phi_5 = \begin{vmatrix} \bar{\phi}_1(1) & \bar{\phi}_2(1) \\ \bar{\phi}_1(2) & \bar{\phi}_2(2) \end{vmatrix} \text{ Leplet, } \langle \hat{S}_z \rangle = -1$$

$$\begin{array}{c|ccccc} \text{Gg} & \text{A} & \text{B} & \text{C} & \text{D} & \text{E} \xrightarrow{\hat{S}_z} \\ \langle \Phi_1 | \hat{H} | \Phi_2 \rangle & -1 & +1 & + & 0 & 0 \\ \hline \text{-2} & \pm & - & + & + & + \\ \text{+1} & \text{A} & E_0 = E_{HF} & 0 & 0 & 0 \\ \text{-1} & \text{B} & E_1 & 0 & 0 & 0 \\ \text{+1} & \text{C} & 0 & E_2 & 0 & 0 \\ \text{+1} & \text{D} & 0 & 0 & E_3 & 0 \\ \text{-1} & \text{E} & 0 & 0 & 0 & E_4 \\ \text{-1} & \text{F} & 0 & 0 & 0 & E_5 \end{array} \xrightarrow{\hat{S}_z^2} \langle \hat{S}_z^2 \rangle$$

najírářské
vlastnosti energie

$$\delta_g \times \delta_g = \sum_g$$

$$\delta_g \times \delta_u = \sum_u$$

tj. $\sum_g \delta_g \times \delta_g = \sum_g \sum_u \delta_g \times \delta_u$

$$\Phi_0 = \phi_1(1)\bar{\phi}_1(2) - \bar{\phi}_1(1)\phi_1(2) \quad \Phi_1(1) = \phi_1(1)\alpha(1)$$

$$\Phi_1 = \phi_2(1)\bar{\phi}_2(2) - \bar{\phi}_2(1)\phi_2(2) \quad \Phi_1(1) = \phi_1(1)\beta(1)$$

$$\Phi_0 = \phi_1(1)\bar{\phi}_1(2)[\alpha(1)\beta(2) - \beta(1)\alpha(2)]$$

$$\Phi_1 = \phi_2(1)\bar{\phi}_2(2)[\alpha(1)\beta(2) - \beta(1)\alpha(2)]$$

⑤

MOCH

Hranačka na spáru! spirose části integrují zvlášť

27/IV/2014 XV

prostor. část: $\Phi_{0, \text{space}} = (\chi_A(1) + \chi_B(1)) \cdot (\chi_A(2) + \chi_B(2)) =$

$\chi_A + \chi_B$

$\Phi_{0, \text{space}} = \underbrace{\chi_A(1)\chi_A(2)}_{\text{rotoryčer}} + \underbrace{\chi_A(1)\chi_B(2)}_{\text{konektoru}} + \underbrace{\chi_B(1)\chi_A(2)}_{\text{konektoru}} + \underbrace{\chi_B(1)\chi_B(2)}_{\text{rotoryčer}}$

$\Phi_{1, \text{space}} = (\chi_A(1) - \chi_B(1))(\chi_A(2) - \chi_B(2)) =$

$= \underbrace{\chi_A(1)\chi_A(2)}_{\text{rotoryčer}} - \underbrace{\chi_A(1)\chi_B(2)}_{\text{konektoru}} - \underbrace{\chi_B(1)\chi_A(2)}_{\text{konektoru}} + \underbrace{\chi_B(1)\chi_B(2)}_{\text{rotoryčer}}$

(2e na jednom jádře) \Downarrow

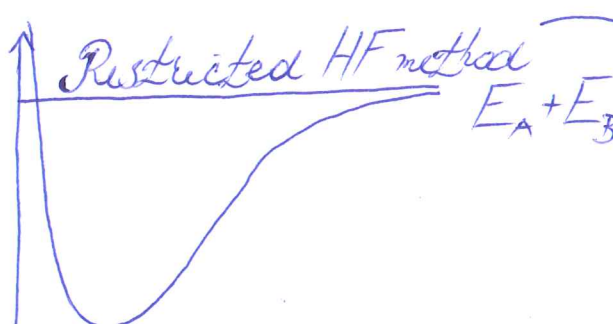
$\textcircled{A} - \textcircled{B}$

$$\Psi_{CI} = c_0 \Phi_0 + c_1 \Phi_1$$

$$\Psi_{CI} = c_0 (2 \times \text{rotoryčer} + 2 \times \text{konektoru}) + c_1 (2 \times \text{rotoryčer} - 2 \times \text{konektoru}) = \text{rotoryčer} (2c_0 + 2c_1) + \text{konektoru} (2c_0 - 2c_1)$$

$$\Phi = \begin{cases} 50\% \text{ rot.} \\ (HF) \quad 50\% \text{ konekt.} \end{cases}$$

→ 2e a 1achytal, ale problém, že se zaražejí a CI
dovolíme exc. aby do protinaz. a díky užloze'



CI: koef. zahrává
Prezjádce: aplál.

- ↓
Isomeric equilibrium
50% H⁺ H (homolytic)
50% :H H⁺ (heterolytic)
+H H:

Spatříme si HF lineu: Výrazně rozdílný růzec je vysoká
 E_a vysoké

(6)

2) energie vlastního průduče

{ minimální rychlosť rastoru \Rightarrow HF dežky nazeb
průdušek kvážke

3) Rovnost kvážky PES průdušek vysoké \Rightarrow vibracní frekvence průdušek
 $\Delta E \Rightarrow$ vysoké frekvence vysoké

4) VF moc vzdialé \Rightarrow pěsenečné dip. závraty